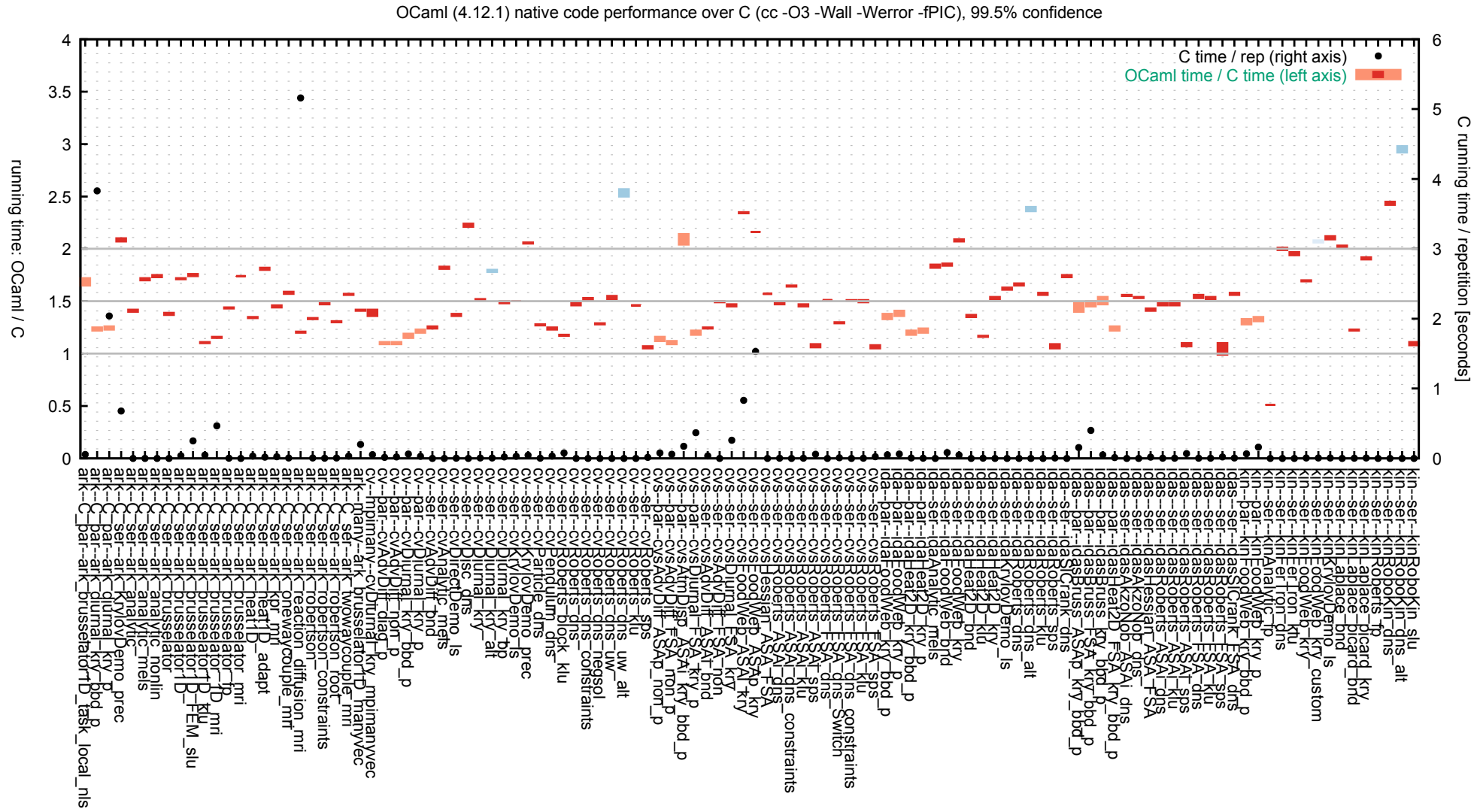
OCaml (4.12.1) native code performance over C (cc -O3 -Wall -Werror -fPIC), 99.5% confidence
C time / rep (right axis)
OCaml time / C time (left axis)
running time: OCaml / C
C running time / repetition [seconds]
0
0.5
1
1.5
2
2.5
3
3.5
4
0
1
2
3
4
5
6
ark--C_par--ark_brusseator1D_task_local_nls
ark--C_par--ark_diurnal_kry_bbd_p
ark--C_par--ark_diurnal_kry_p
ark--C_ser--ark_KryloviDemo_prec
ark--C_ser--ark_analytic_mels
ark--C_ser--ark_analytic_nonlin
ark--C_ser--ark_brusseator1D_FEM_slu
ark--C_ser--ark_brusseator1D_klu
ark--C_ser--ark_brusseator1D_mri
ark--C_ser--ark_brusseator_mri
ark--C_ser--ark_brusseator_tp
ark--C_ser--ark_heat1D_adapt
ark--C_ser--ark_heat1D_mri
ark--C_ser--ark_kpr_mri
ark--C_ser--ark_onewaycouple_mri
ark--C_ser--ark_reaction_diffusion_mri
ark--C_ser--ark_robertson_constraints
ark--C_ser--ark_robertson_root
ark--C_ser--ark_robertson_root_mri
ark--C_ser--ark_twowaycouple_mri
ark--many--ark_brusseator1D_manyvec
ark--many--ark_twowaycouple_mpimanyvec
cv--mpimany--cvDiurnal_kry_mpimanyvec
cv--par--cvAdvDiff_diag_p
cv--par--cvAdvDiff_non_p
cv--par--cvDiurnal_kry_bbd_p
cv--par--cvDiurnal_kry_p
cv--ser--cvAdvDiff_bnd
cv--ser--cvAnalytic_mels
cv--ser--cvDirectDemo_ls
cv--ser--cvDisc_dns
cv--ser--cvDiurnal_kry
cv--ser--cvDiurnal_kry_alt
cv--ser--cvDiurnal_kry_bp
cv--ser--cvKryloviDemo_ls
cv--ser--cvKryloviDemo_prec
cv--ser--cvParticle_dns
cv--ser--cvPendulum_dns
cv--ser--cvRoberts_block_klu
cv--ser--cvRoberts_dns
cv--ser--cvRoberts_dns_constraints
cv--ser--cvRoberts_dns_negsol
cv--ser--cvRoberts_dns_uw_alt
cv--ser--cvRoberts_klu
cv--ser--cvRoberts_sps
cv--par--cvsAdvDiff_FSA_non_p
cv--par--cvsAdvDiff_FSA_kry_bbd_p
cv--par--cvsAdvDiff_FSAp_non_p
cv--ser--cvsDiurnal_FSA_kry
cv--ser--cvsDiurnal_FSA_kry_p
cv--ser--cvsDiurnal_FSA_kry_bbd_p
cv--ser--cvsFoodWeb_ASA_kry
cv--ser--cvsFoodWeb_ASAp_kry
cv--ser--cvsFessian_ASA_FSA
cv--ser--cvsRoberts_ASAi_dns
cv--ser--cvsRoberts_ASAi_dns_constraints
cv--ser--cvsRoberts_ASAt_bnd
cv--ser--cvsRoberts_ASAt_klu
cv--ser--cvsRoberts_ASAt_sps
cv--ser--cvsRoberts_ESA_dns
cv--ser--cvsRoberts_ESA_dns_constraints
cv--ser--cvsRoberts_ESA_dns_Switch
cv--ser--cvsRoberts_ESA_klu
cv--ser--cvsRoberts_ESA_sps
cv--ser--cvsRoberts_FSA_bbd_p
cv--ser--cvsRoberts_FSA_kry
cv--ser--cvsRoberts_FSA_kry_p
cv--ser--cvsRoberts_FSA_kry_bbd_p
da--par--daHeat2D_kry_bbd_p
da--par--daHeat2D_kry_p
da--par--daFoodWeb_kry_p
da--par--daFoodWeb_kry_bbd_p
da--ser--daAnalytic_mels
da--ser--daFoodWeb_bnd
da--ser--daFoodWeb_kry
da--ser--daHeat2D_bnd
da--ser--daHeat2D_kry
da--ser--daKryloviDemo_ls
da--ser--daRoberts_dns
da--ser--daRoberts_dns_alt
da--ser--daRoberts_klu
da--ser--daRoberts_sps
das--par--dasBruss_FSA_kry_bbd_p
das--par--dasBruss_FSA_kry_p
das--ser--dasCrank_dns
das--ser--dasHessian_ASA_FSA
das--ser--dasAzzoNlp_dns
das--ser--dasAi_dns
das--par--dasHeat2D_FSA_kry_bbd_p
das--ser--dasBrusseator_ESA_dns
das--ser--dasBrusseator_ESA_sps
das--ser--dasBrusseator_ESA_klu
das--ser--dasRoberts_ASA_dns
das--ser--dasRoberts_ASA_klu
das--ser--dasRoberts_ASA_sps
kin--par--kinFoodWeb_kry_p
kin--par--kinFoodWeb_kry_bbd_p
kin--ser--kinAnalytic_fp
kin--ser--kinFerTron_dns
kin--ser--kinFerTron_klu
kin--ser--kinFoodWeb_kry
kin--ser--kinFoodWeb_kry_custom
kin--ser--kinKryloviDemo_ls
kin--ser--kinLaplace_bnd
kin--ser--kinLaplace_picard_bnd
kin--ser--kinLaplace_picard_kry
kin--ser--kinRobertson_dns
kin--ser--kinRobertson_dns_alt
kin--ser--kinRobertson_klu
kin--ser--kinRobertson_sps